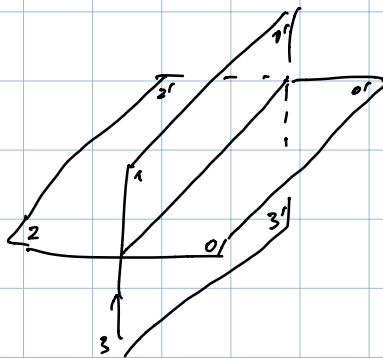
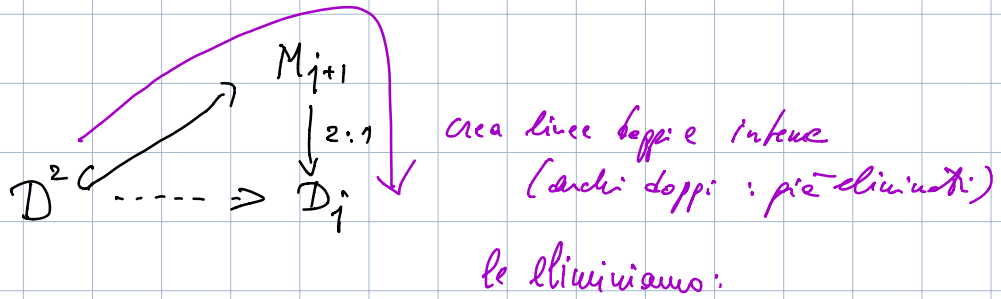


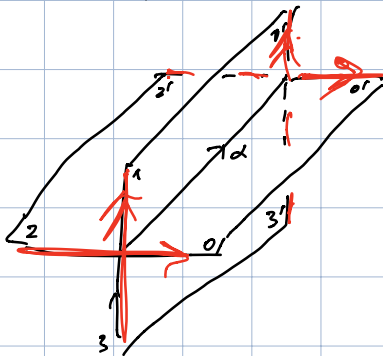
LDT - 23/4/2020



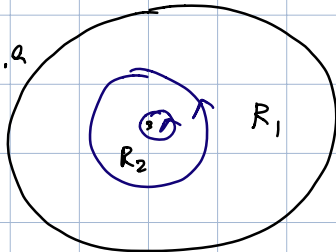
II $0123 \rightarrow 0'1'2'3'$

III $0123 \rightarrow 1'0'3'2'$

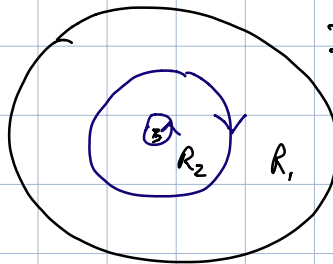
II



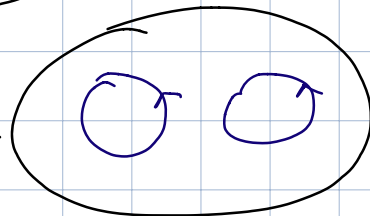
II.1.a



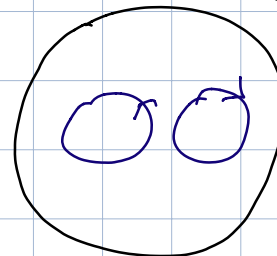
II.1.b



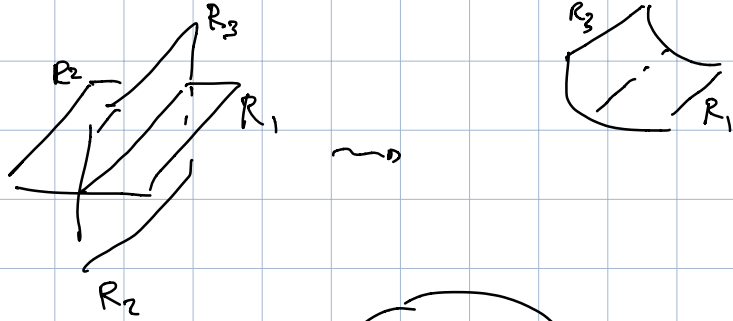
II.2.a



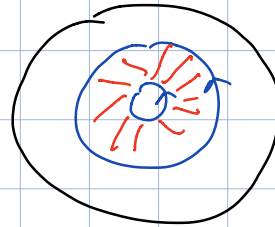
II.2.b



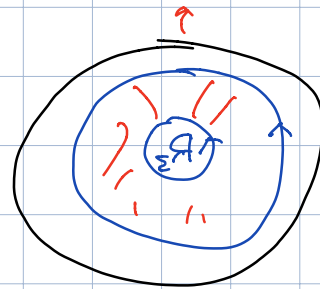
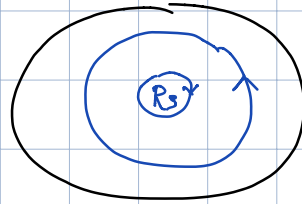
II.1



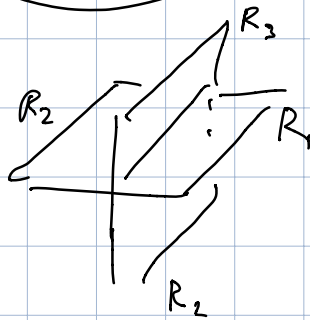
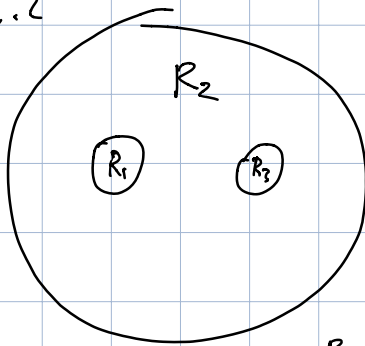
a



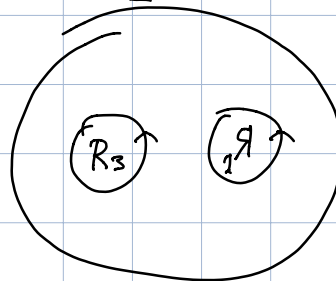
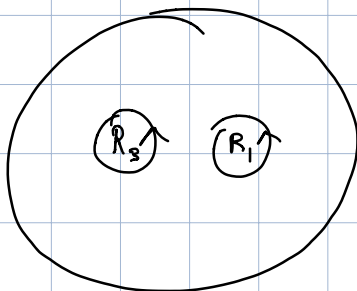
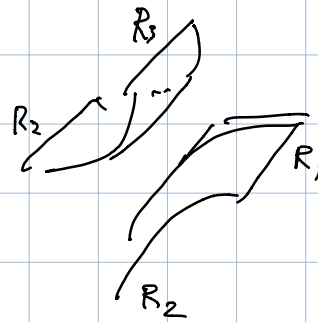
b

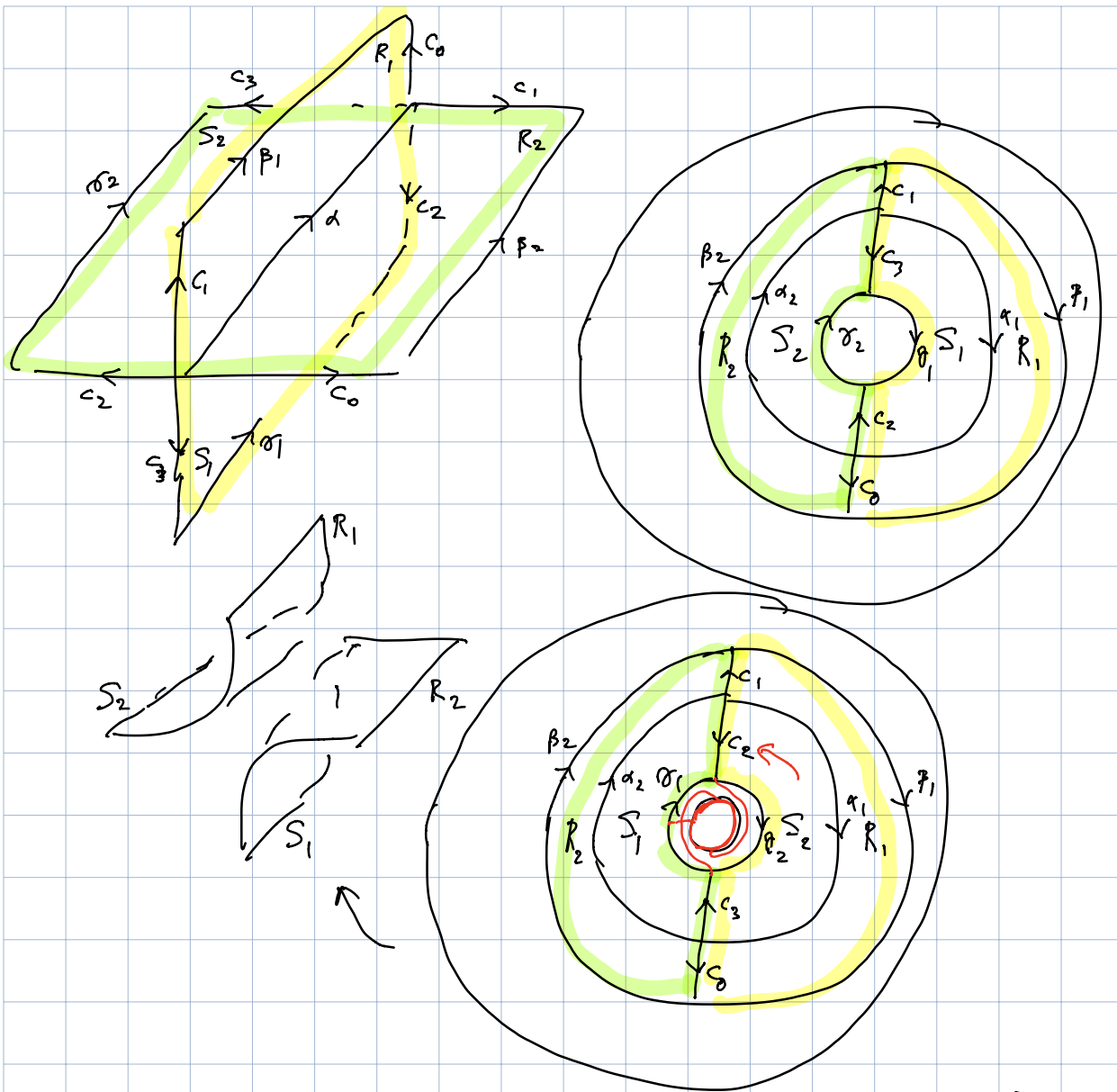


II.2



→





Classificaz. di $\mathcal{M}_3 = \{3\text{-man. chiuse / con bordo / orientate...}\}$

- metodo combinatorio per rappresentarle (oggetti/mosse)
- possibilità di stabilire che $M_1 = M_2$
- invarianti con cui dire che $M_1 \neq M_2$

Dehn filling / surgery

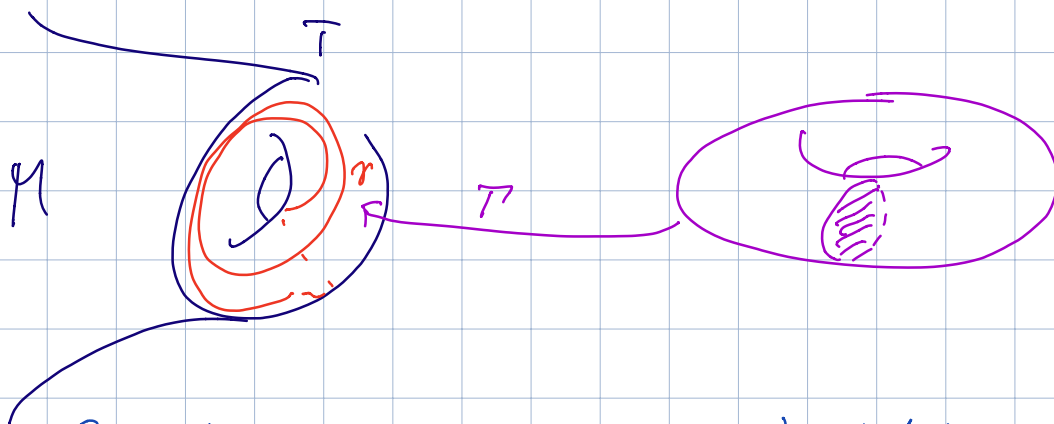
Oss 1: su T sono c'è un solo tipo di curve essenziali
 e meno di uno di T ; parametrizzate da
 $\mathbb{Q} \cup \{\infty\}$ si fanno bene $\mu, \lambda \perp H_1(T)$
 $\gamma \leftrightarrow p/q \quad \alpha[\gamma] = [p\mu + q\lambda] \in H_1(T)$.

M 3-var cpt; $\partial M \supset T$; ∂CT essenziale

$$M_\gamma = M \cup_{\Gamma} D^2 \times S^1$$

$$\Gamma: \partial(D^2 \times S^1) \rightarrow T$$

$$\Gamma: \partial D^2 \times \{*\} \rightarrow \gamma$$



Oss: M_γ è ben def (indip da Γ); infatti:

1) Si attacca $\text{D}^2 \times S^1 \rightarrow \gamma$

2) Resta da attaccare D^3 lungo la S^2 creata:
 si fa in solo modo poiché ogni ambientamento
 di S^2 si estende a D^3 .

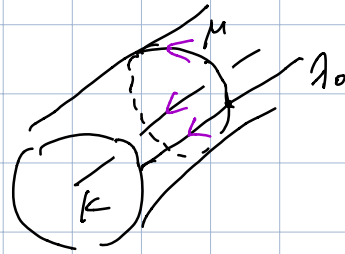
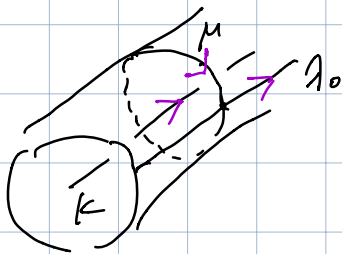
Dehn filling.

$L \subset S^3$ link ; $E(L) = S^3 \setminus \dot{U}(L)$

$$\partial E(L) = T_1 U_1 \dots U_k T_k$$

Chirurgia L Dhu lungo $L =$ ricoprimento di $E(L)$.

Oss: su ogni $\partial E(L)$ ho base canonica $\pm(\mu, \lambda_0)$



Dunque la chirurgia lungo L sono parametrizzate da
 $\alpha_1, \dots, \alpha_k \in \mathbb{Q} \cup \{\infty\}$

Teo (Lickorish - Wallace): ogni M^3 chiusa orientata
è ottenuta da qualche link su S^3 con chirurgia intera.

Dunque posso usare diagrammi con framing diagrammi ecc.

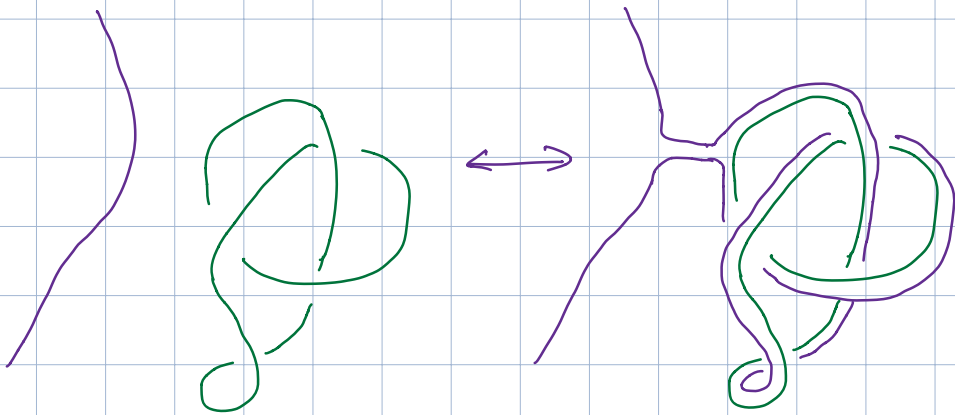
Teo (Kirby): $L_1, L_2 \subset S^3$ link con framing intero ;
 $M(L_1) \cong M(L_2) \iff L_1$ connessi da mosse :

$$K_1: L \iff L \cup \bigcirc_{\pm 1}$$

$$\bigcirc_{+1} = \bigcirc_{+1}$$

$$\bigcirc_{-1} = \bigcirc_{-1}$$

K_2 (diag.):

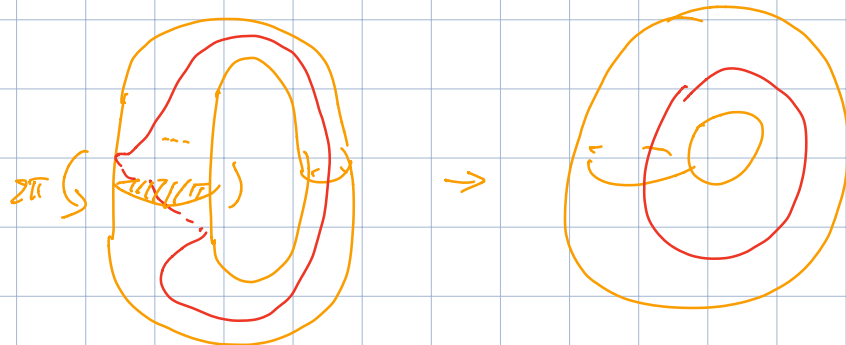
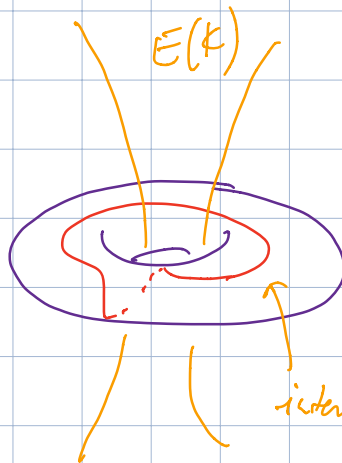


Dimo \Rightarrow

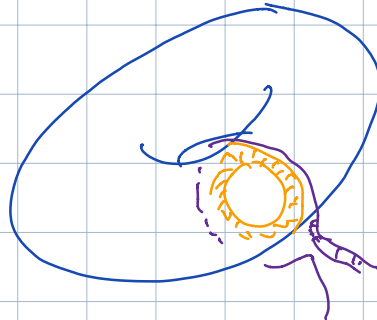
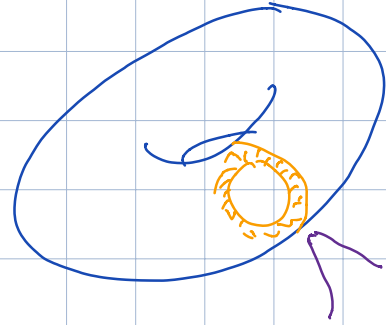
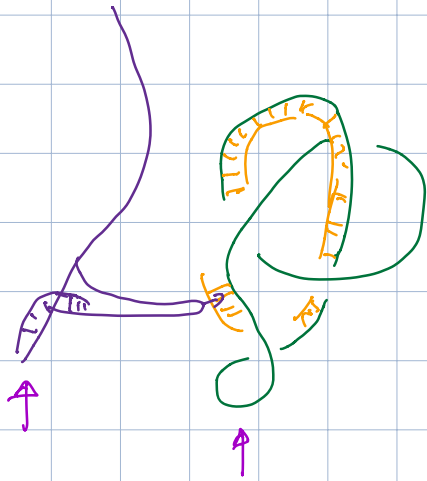
(K1)



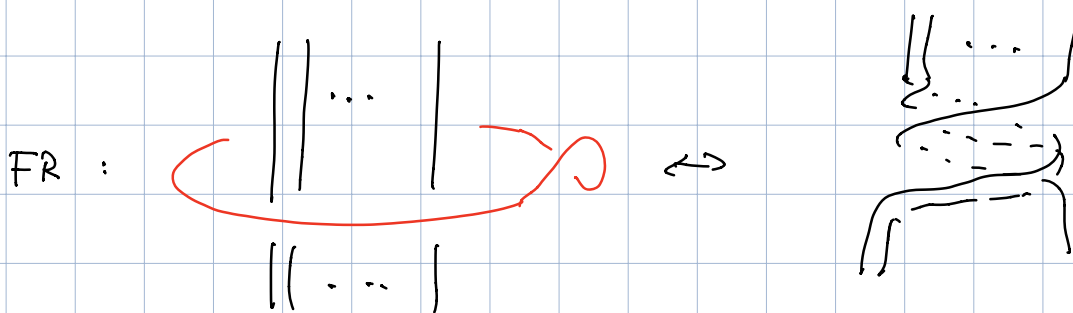
=



(k2)



Teo (Fenn-Rourke): $M(L_1) \cong M(L_2) \iff$ lepi de nome



Fatto:
•) poco efficiente per riconoscimento.
•) dà buoni invarianti.

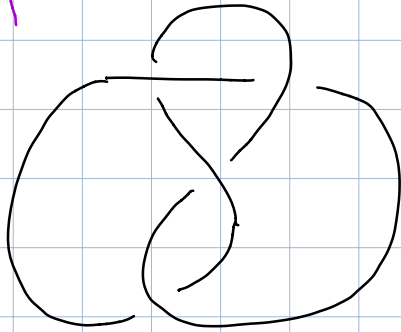
[.] inv. per link con framing $\in \mathbb{Z}[A^{\pm 1}]$.

A partire da questo e con $A = e^{2\pi i/q}$ si trovano
invarianti Reshetikhin - Turaev - Witten.

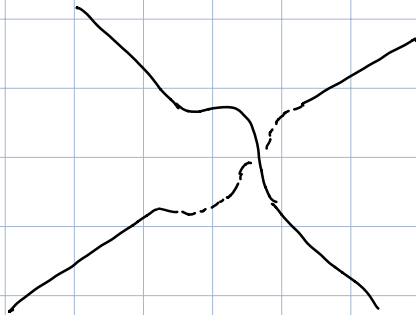
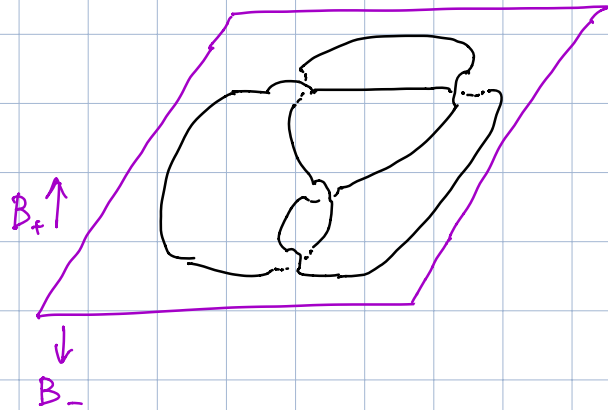


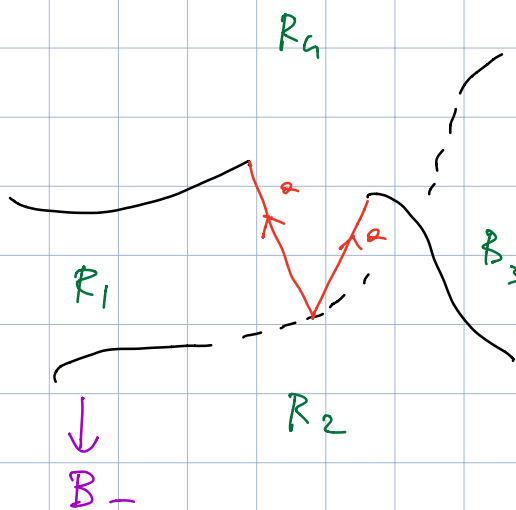
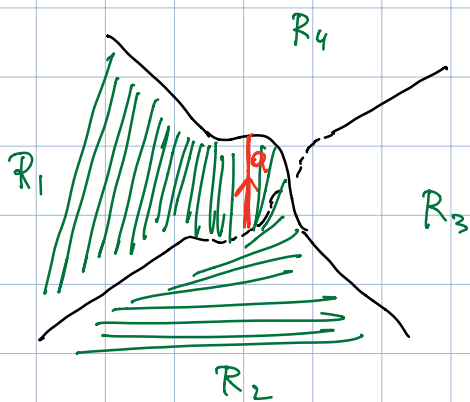
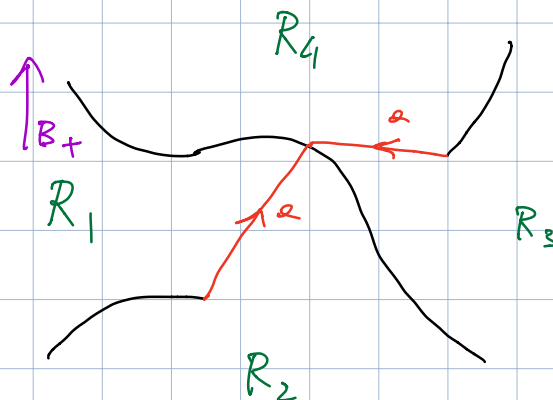
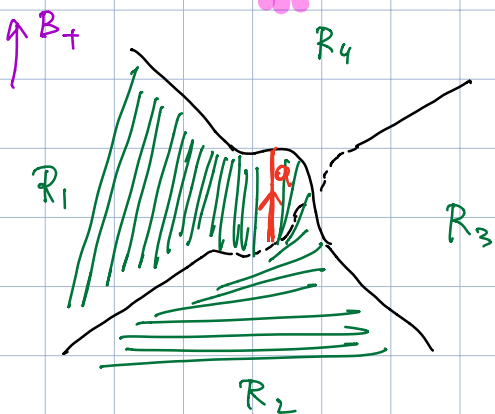
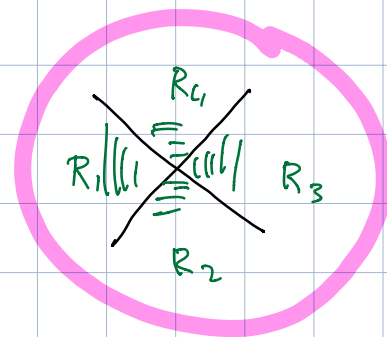
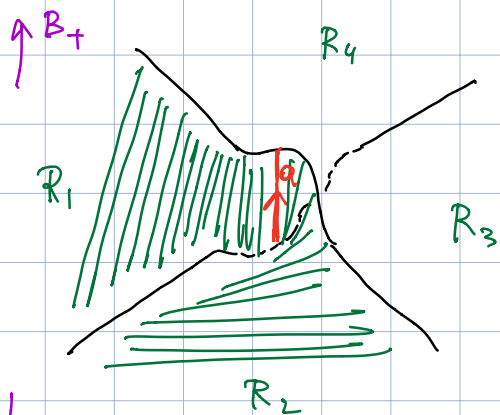
Triangolazioni ideali e spine speciali:
(molto efficiente per ricorrenza)

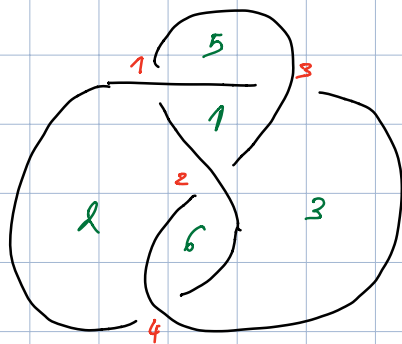
$M = S^3$



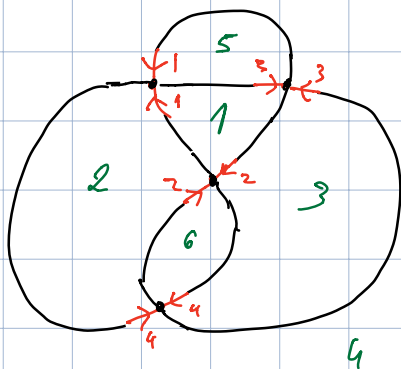
(rank 1 non opt)



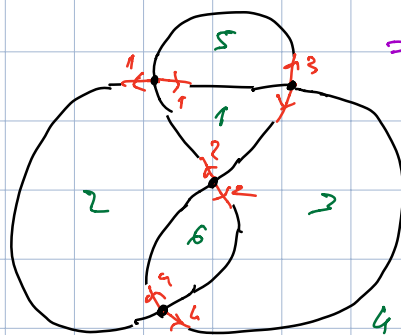




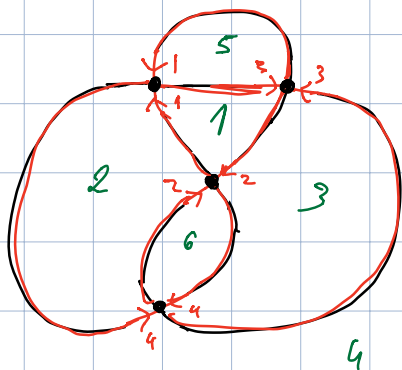
∂B_+



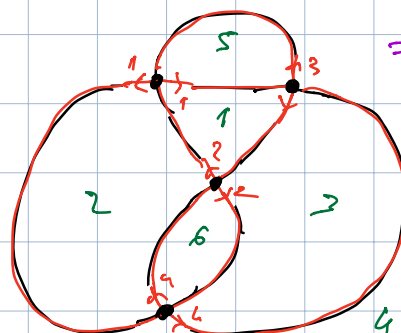
$= \partial B_-$



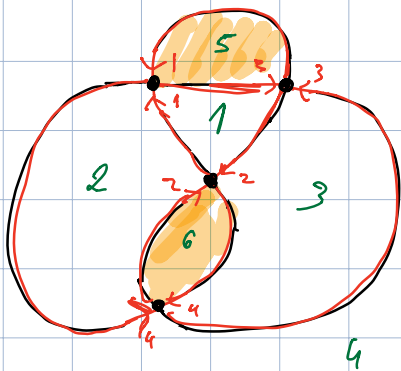
∂B_+



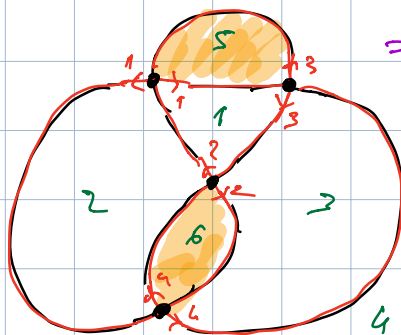
$= \partial B_-$

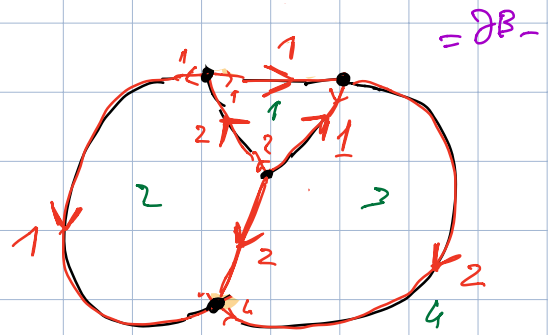
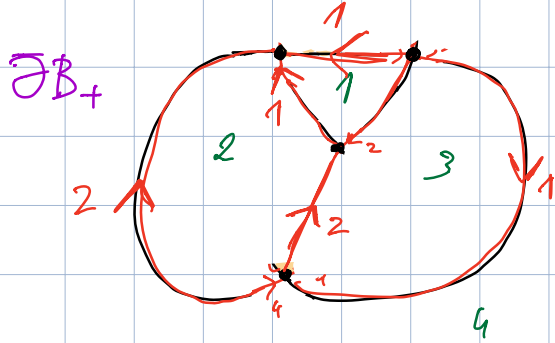


∂B_+

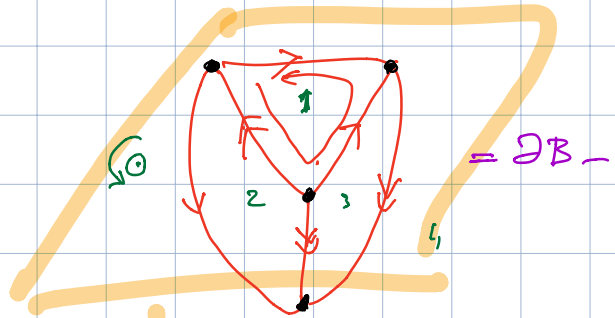
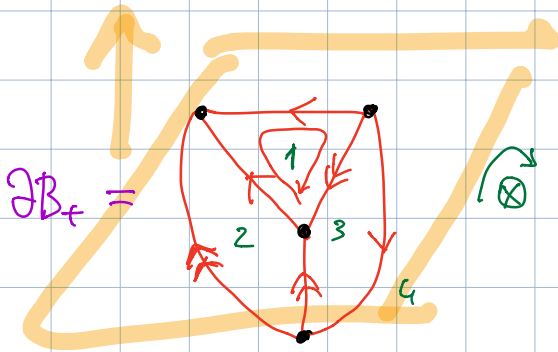


$= \partial B_-$



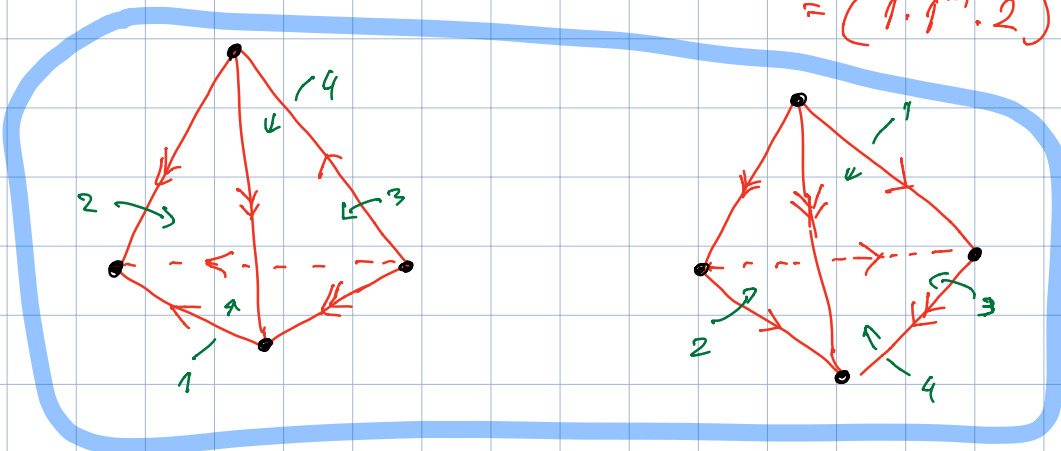


Manifold: $S^3 \setminus \{pt\} = B_+ \cup B_-$ con le seguenti
 identificazioni \setminus vertice:



$$\partial 1 = 1 \cdot 1^{-1} \cdot 2$$

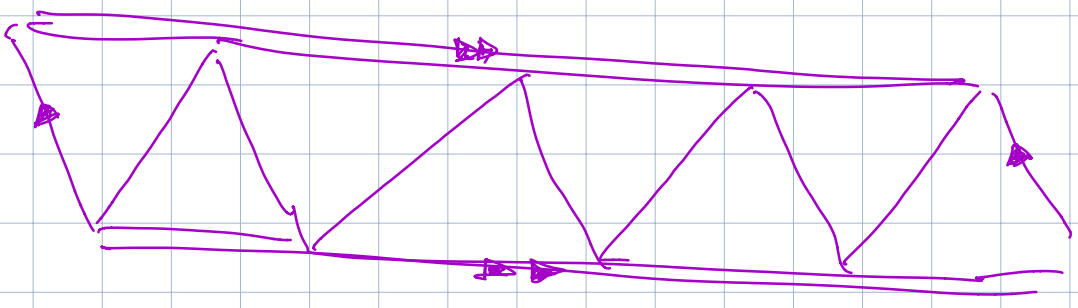
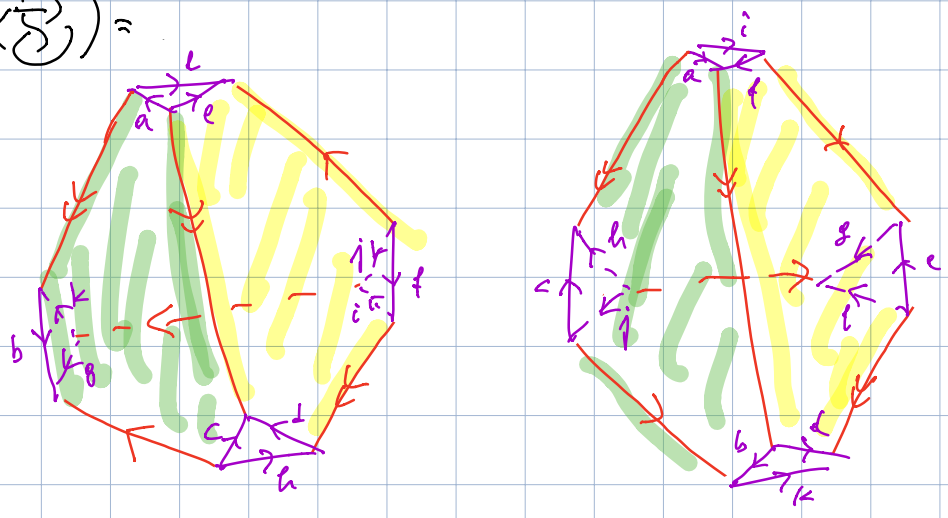
$$\partial 1 = 2^{-1} \cdot 1 \cdot 1^{-1} = (1 \cdot 1^{-1} \cdot 2)^{-1}$$



$\text{Duplo} (S^3, \mathbb{Z}) = \text{tetra} \cup \text{tetra} / \begin{matrix} \text{identif.} \\ \text{simplic. e} \\ \text{opie tra facce} \\ \swarrow \text{Vertici} \end{matrix}$

(Thurston)

$\Rightarrow E(\mathbb{Z}) =$



Oss: se M è chiusa è ben def $M' = M \setminus B^3$
 ricompare se $\partial M' = S^2$ è ben def $M = M' \cup_{S^2} D^3$

Nel resto della lezione ogni M è cph. conviene con $\partial M \neq \emptyset$.

Oss: $N = S^3 \setminus \mathbb{R}P^2$ $M = E(\mathbb{R}P^2)$

- $M \subset N$ $M = N \setminus \cup(\text{verice})$
- $N = M \cup \partial M = S^3 \setminus \cup(\mathbb{R}P^2)$.

Def: chiamo triangolazioni ideali di M una delle seguenti equivalenti:

1) $M \setminus \partial M = (\Delta_1 \cup \dots \cup \Delta_n) / \text{identif. Singl. tra facce}$ \cup verici

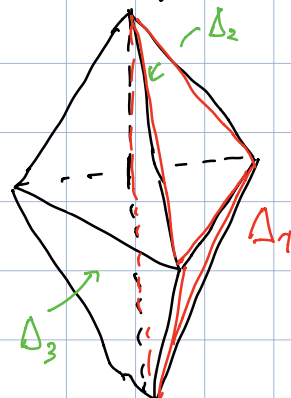
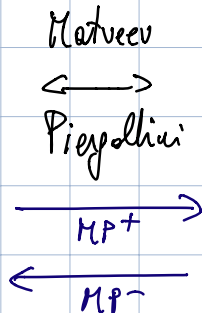
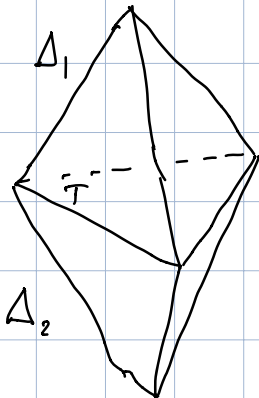
2) $(M, \partial M) = (\text{polyhedron} \cup \dots \cup \text{polyhedron}) / \text{identif. vertice da singl. tra facce}$

3) $\hat{M} = M / \text{ogni coppia di } \partial M \text{ identica a un pt} \approx (\Delta_1 \cup \dots \cup \Delta_n) / \sim$
 $\partial M \text{ cellonate} \leftrightarrow \text{verici}$

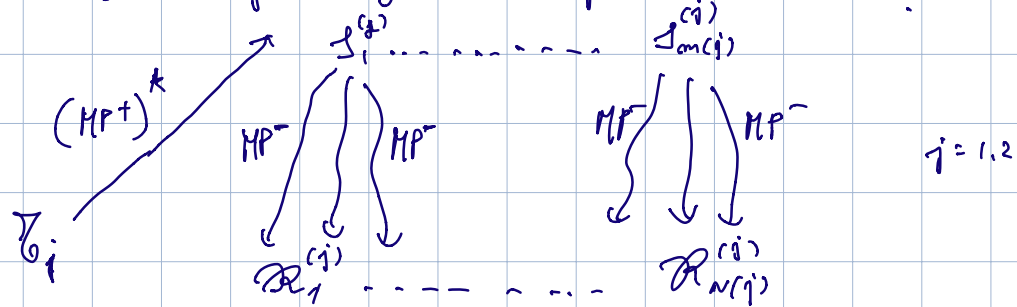
Teo: 1) Ogni 3-varietà ha triang. ideali (con ≥ 2 tetraedri)

2) Due triang. ideali danno la stessa 3-varietà

\Leftrightarrow si ottengono una dall'altra tramite un move



Date M_j con \mathcal{V}_j triang. ideale $j=1,2$: $M_1 \neq M_2$



confronto ogni $\mathcal{R}_i^{(1)}$ con $\mathcal{R}_i^{(2)}$: se due sono
 combia. equivalenti OK : OK

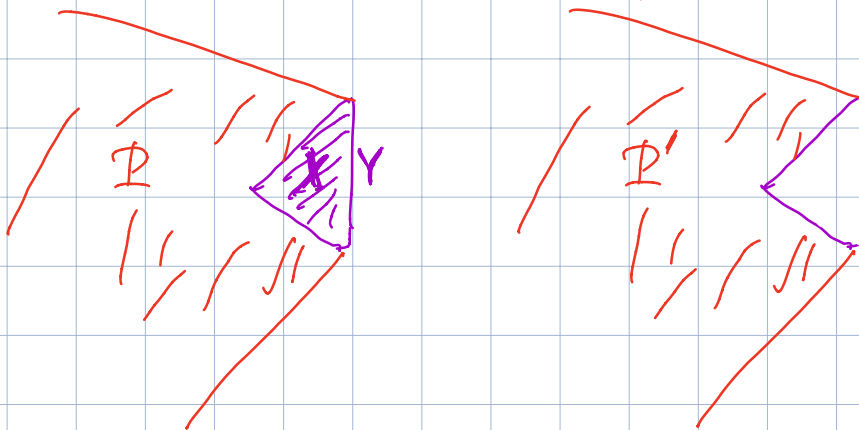
Nozione PL :

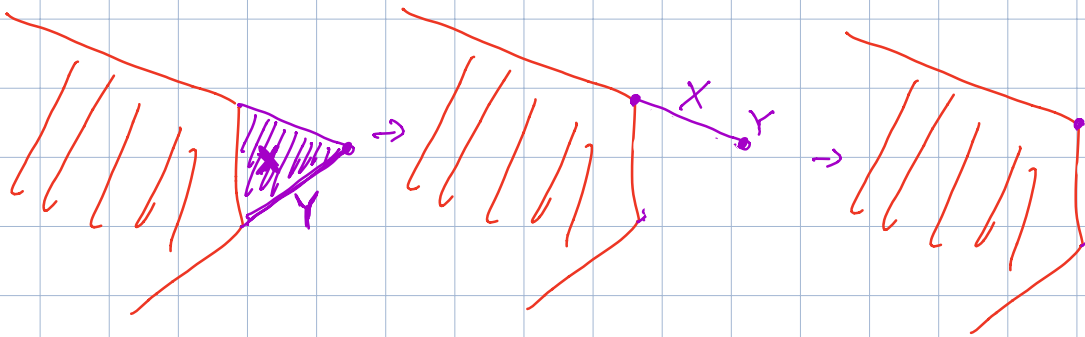
collano elementare

P poliedro; $X \subset P$, Y faccia di X e.c.

Y è faccia solo di X

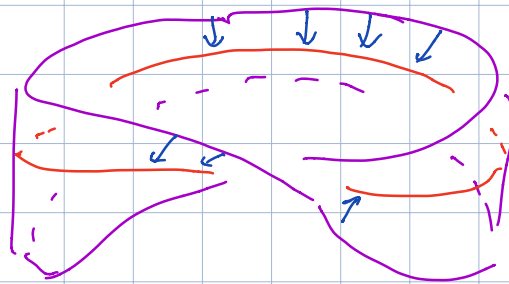
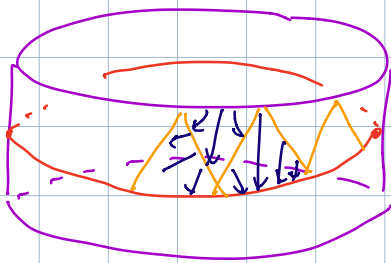
$P \text{ ma } P \setminus (Y \cup X)$





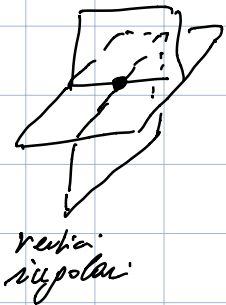
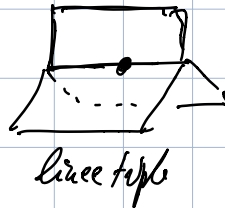
Chiamo collano una successione di collami successivi.

Def: data M 3-ven (cpt con $\partial M \neq \emptyset$) chiamo spine di M un $\mathbb{I} \subset \dot{M}$ t.c. M collano su \mathbb{P} .



Def: dico che \mathbb{P} è speciale se:

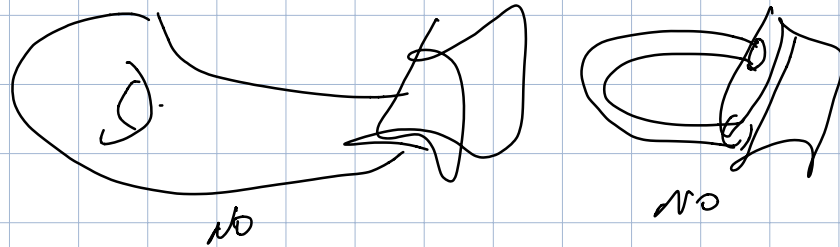
• loc. è con:



(oss sono le singolarità perché per una bolla)

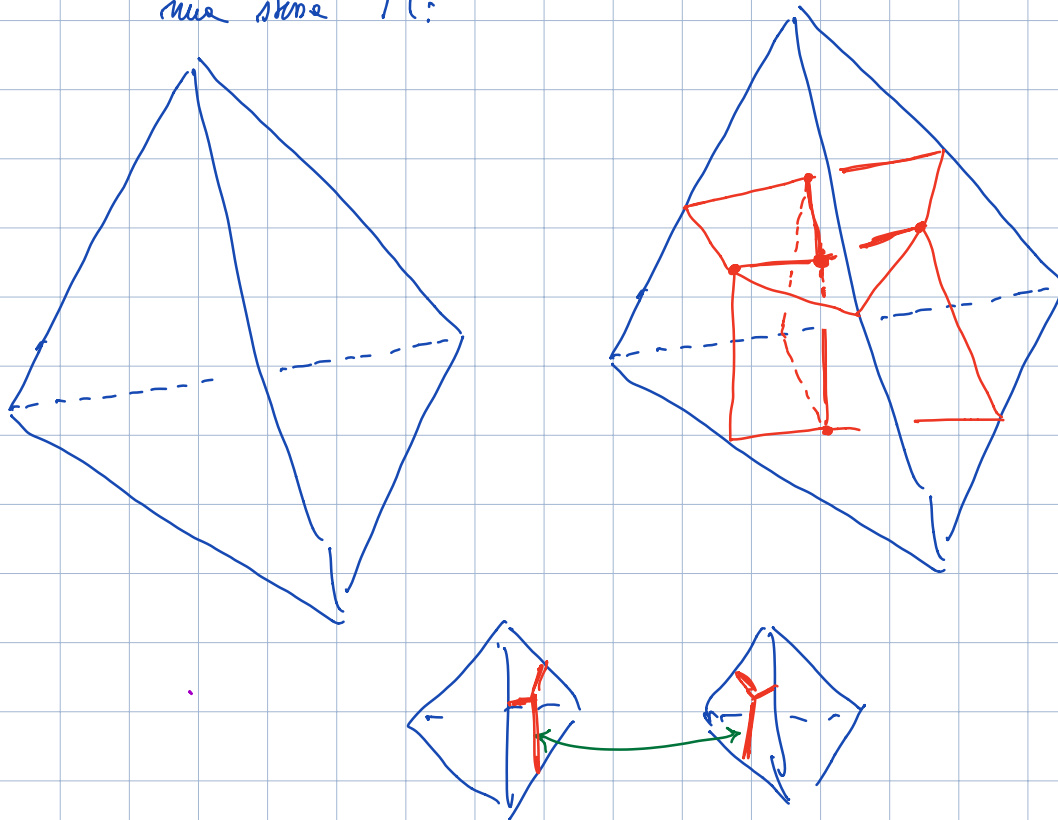


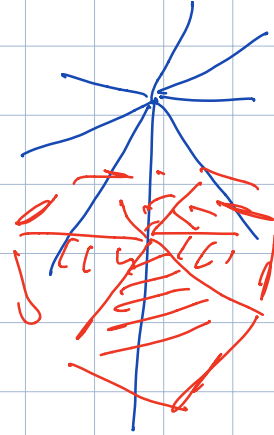
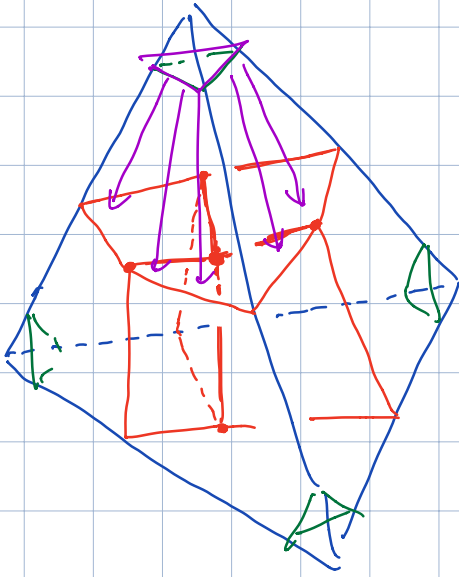
- le componenti dei pti fissi sono dischi



Prop: se due varietà hanno spine speciali omeeomorfe
sono omeomorfe -

Prop: esiste una corrispondenza biunivoca (dualità)
tra le spine speciali e le triang. ideali di
una sfera M :





Versionen für Spielmasse MP.

